

## Chapitre II: PROPAGATION AVEC DISPERSION

Jusqu'à présent, nous nous sommes intéressés à la propagation de des milieux simples, en part. nous avons vu q les ondes se propagent  $\emptyset$  se déformer, c'est q au fait q  $v_p = \text{cte}$ . Dans ce chapitre, on s'intéresse au cas où  $v_p(\omega)$ : on parle de propagation dispersive.

### I. DISPERSION PAR UN MILIEU INFINI LINEAIRE

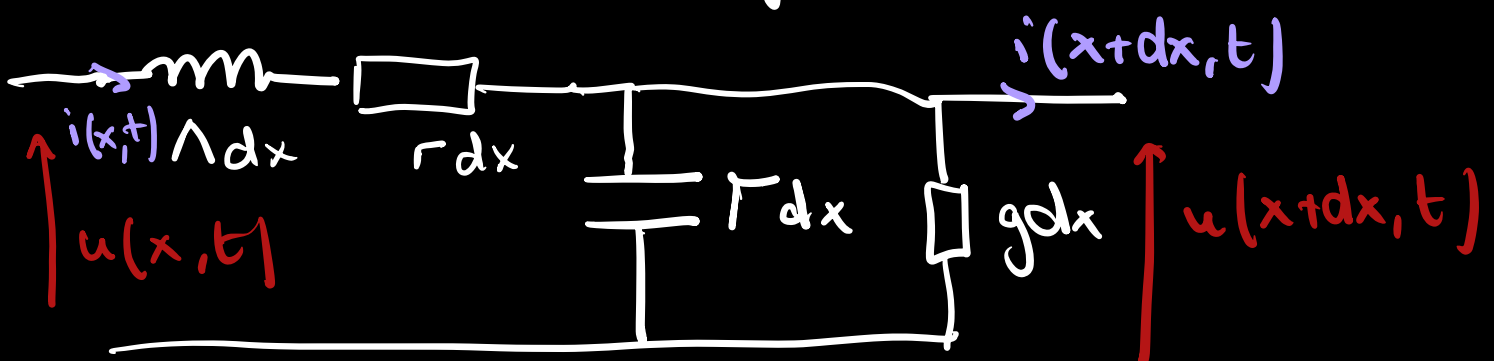
#### 1) Câble coaxial réel

- On reprend le câble coaxial avec ces réparties, mais on en propose 1 description  $\odot$  réaliste.

↳ on tient compte de la dissipation par effet

Joule de les conducteurs: résistance de ligne  $r$  par unité de longueur.

↳ on tient compte du courant de fuite entre les 2 conducteurs: conductance  $g$  par unité de longueur.



$$\text{Alors } u(x+dx, t) \approx r dx i(x, t) + \Lambda dx \frac{\partial i}{\partial t}(x, t) = u(x, t)$$

$$\Rightarrow \boxed{\frac{\partial u}{\partial x} = -r i - \Lambda \frac{\partial i}{\partial t}}$$

négligeable à HF

$$\text{et } i(x, t) = \Gamma dx \frac{\partial u}{\partial t}(x+dx, t) - g u(x+dx, t) = i(x+dx, t)$$

$$\Rightarrow \boxed{\frac{\partial i}{\partial x} = -\Gamma \frac{\partial u}{\partial t} - g u}$$

↳ on observe q̄ les relat de couplage ont changé : on va trouver l'eqn d'onde ≠ car le milieu a changé.

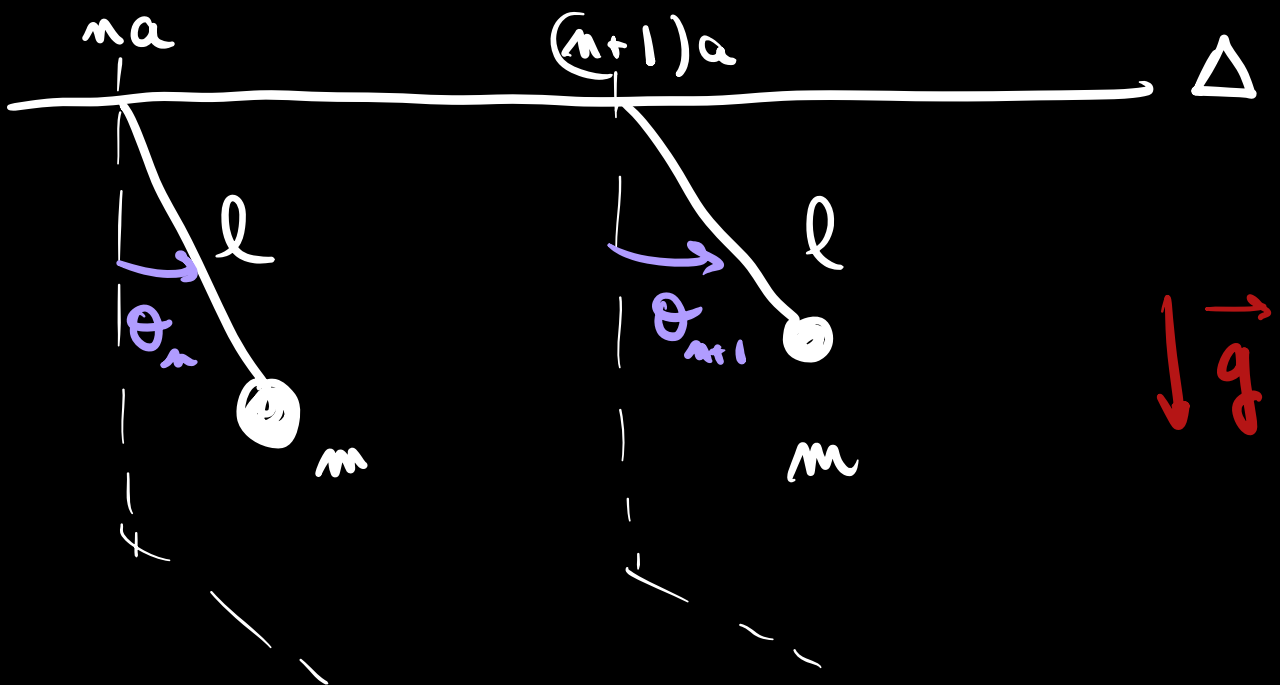
$$\begin{aligned} \frac{\partial^2 i}{\partial x^2} &= -\Gamma \frac{\partial^2 u}{\partial x \partial t} - g \frac{\partial u}{\partial x} \\ &= \Gamma \frac{\partial i}{\partial t} + \Gamma \Lambda \frac{\partial^2 i}{\partial t^2} + g r i + g \Lambda \frac{\partial i}{\partial t} \end{aligned}$$

$$\Rightarrow \boxed{\frac{\partial^2 i}{\partial x^2} - \frac{1}{c^2} \frac{\partial^2 i}{\partial t^2} = (\Gamma \Gamma + g \Lambda) \frac{\partial i}{\partial t} + g r i}$$

C'est l'eqn des télégraphistes.

- Pptés: 1)  $N$  est plus invariante par  $t \rightarrow -t$ :  
 propagation irréversible à cause de  
 la dissipation & des fuites ( $r$  et  $g$ ).
- 2) Par contre, toujours invariante  
 par translation de  $x \rightarrow -x$ : milieu  
 homogène & isotrope.
- 3) Ne peut plus être résolue par chgt de  
 variable  $\xi = x - ct$  et  $\eta = x + ct$ :  
 il n'existe plus 1 seule vitesse de  
propagation de l'onde.

## 2) Chaîne de pendules couplés par torsion



- On considère 1 ens. de  $N \gg 1$  pendules  
 de  $\vec{m}$  masse  $m$  & longueur  $l$ .

• Hyp: 1) on néglige toute source de dissipation

2) fil de torsion de cste  $C$ .

3) Petits angles  $|\theta_n| \ll 1$

• On appliq le TNC à 1 pendule ds le ref. du labo supposé galiléen:

$$\frac{dL_\Delta}{dt} = \Pi_\Delta(\vec{p}) + \Pi_\Delta^+ + \Pi_\Delta^-$$

où  $L_\Delta$ : mom<sup>t</sup> cinétiq par rapport à l'axe  $\Delta$

$\Pi_\Delta(\vec{p})$ : mom<sup>t</sup> du poids 

---

$\Pi_\Delta^\pm$ : mom<sup>t</sup> de torsion 

---

exercés par les parties gauche & droite.

$$\text{Or } L_\Delta = \vec{m} l^2 \dot{\theta}_n$$

$$\Pi_\Delta(\vec{p}) = -mgl \sin \theta_n \approx -mgl \theta_n$$

$$\Pi_\Delta^+ = C(\theta_{n+1} - \theta_n)$$

$$\Pi_\Delta^- = C(\theta_{n-1} - \theta_n)$$

$$\Rightarrow m l^2 \ddot{\theta}_n = -m g l \theta_n + C (\theta_{n+1} + \theta_{n-1} - 2\theta_n)$$

$$\ddot{\theta}_n + \frac{g}{l} \theta_n - \frac{C}{m l^2} (\theta_{n+1} + \theta_{n-1} - 2\theta_n) = 0$$

- On va maintenant faire l'approx. des milieux CONT, ce qui revient à supposer  $\bar{q} \ll d$ . On introduit donc 1 chp CONT  $\theta(x,t) + q \theta(na,t) = \theta_n(t)$ .

On obtient alors :

$$\frac{\partial^2 \theta}{\partial t^2}(na,t) + \frac{g}{l} \theta(na,t) - \frac{C}{m l^2} \{ \theta(na+a,t) + \theta(na-a,t) - 2\theta(na,t) \}$$

$$\frac{\partial^2 \theta}{\partial t^2}(na,t) + \frac{g}{l} \theta(na,t) - \frac{C a^2}{m l^2} \frac{\partial^2 \theta}{\partial x^2}(na,t) \stackrel{=0}{=} 0$$

Comme  $d \gg a$ , on peut donc écrire :

$$\boxed{\frac{\partial^2 \theta}{\partial t^2} + \omega_0^2 \theta - c^2 \frac{\partial^2 \theta}{\partial x^2} = 0}$$

où  $c = \sqrt{\frac{C a^2}{m l^2}}$  et  $\omega_0 = \sqrt{\frac{g}{l}}$

C'est l'éqn de Klein-Gordon.

RO2: On la retrouve ds  $\neq$  domaines de la  $\Psi$ , p.e. les ondes epe ds l plasma dilué, l'eqn de propagation des ondes de matière de particules relativistes de spin nul.

Pptés: 1) On retrouve l'EOC si  $\omega_0 = 0$ , i.e. si  $g \rightarrow 0$ .

2) Elle décrit tps l propagation rev. ds l milieu homogène & isotrope.

3) Là encore, on ne peut plus la résoudre si on pose  $\xi = x - ct$  et  $\eta = x + ct$ .

### 3) Corde de Nambu avec raideur

• On revient sur le cas de la corde de Nambu, mais on tient compte cette fois-ci de la raideur  $\kappa$  de la corde, c'est-à-dire le fait qu'il y a l coût énergétique lorsqu le rayon de courbure  $R$  de la corde est trop petit (corde non courbée:  $R \rightarrow +\infty$ )

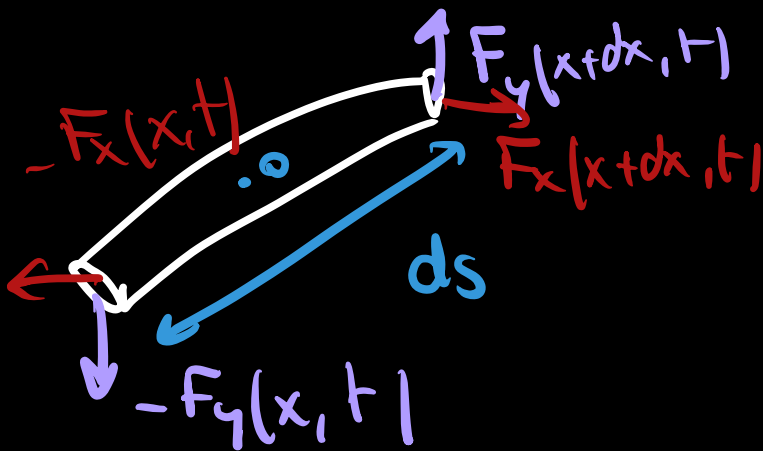
↳ cela revient à considérer l mom<sup>t</sup> de flexion:

$$\vec{M}(x,t) = \int_{x \text{ et } t} \vec{OM} \times d\vec{F}_s = \int_{x \text{ et } t} d\vec{F} \frac{E}{R} r^3 \vec{e}_z$$

ligne neutre  $= \frac{EI}{R} \vec{e}_z$   
 $d\vec{F}_s = d\Omega E \vec{t} \varepsilon = E \vec{t} \frac{r}{R} 2\pi r dr$   
 loi de Hooke  $\left[ I = \frac{\pi}{2} \left( \frac{d}{2} \right)^4 \right]$   
 où  $I$  est l'cte géo. appelée moment quadratique, et homogène à l distance à la puissance 4.  
 $-R(x,t)$   
 $ds$

DONC  $\vec{M}(x,t) = EI \frac{\partial^2 y}{\partial x^2}(x,t) \vec{e}_z$

- On va appliquer le PFD à l'élément de corde de longueur  $ds \approx dx$ .



- On note  $M = \vec{M} \cdot \vec{e}_z$  et  $v = \frac{\partial y}{\partial t}$  la vitesse verticale.

Le PFD donne alors:

$$\left\{ \begin{array}{l} \mu dx \frac{\partial v}{\partial t} = F_d(x+dx, t) + F_g(x, t) \\ 0 = F_{d,x}(x+dx, t) + F_{g,x}(x, t) \end{array} \right.$$

Or d'après la 3<sup>ème</sup> loi de Newton, on a:

$$\vec{F} = \vec{F}_d = -\vec{F}_g, \text{ soit:}$$

F: force  
verticale

$$\left\{ \begin{array}{l} \mu \frac{\partial v}{\partial t} = \frac{\partial F_y}{\partial x} = \frac{\partial F}{\partial x} \\ \frac{\partial F_x}{\partial x} = 0 \Rightarrow F_x = \text{cte} = T \end{array} \right.$$

• Pour obtenir l'éqn supplémentaire, on applique le TNC selon l'axe (Oz):

$$\begin{aligned} \frac{\partial L}{\partial t} &= M(x+dx, t) - M(x, t) \\ &+ F_y(x+dx, t) \frac{dx}{2} + F_y(x, t) \frac{dx}{2} \\ &- F_x(x+dx, t) dy - F_x(x, t) dy \\ &= \left[ \frac{\partial M}{\partial x} + F - T \frac{\partial y}{\partial x} \right] dx \end{aligned}$$

or  $L = J \frac{\partial^2 y}{\partial x \partial t}$  et  $J = \frac{\mu dx}{5} (dx)^2 = \frac{\mu (dx)^3}{5} \rightarrow$  négligeable

DONC  $\frac{\partial M}{\partial x} + F - T \frac{\partial y}{\partial x} = 0.$

On a donc

$$\mu \frac{\partial v}{\partial t} = \frac{\partial F}{\partial x} \quad (\text{PFD})$$

$$\frac{\partial M}{\partial x} + F - T \frac{\partial y}{\partial x} = 0 \quad (\text{TNC})$$

$$\frac{\partial \Pi}{\partial t} = EI \frac{\partial^2 v}{\partial x^2} \quad (\text{diff. de } M)$$

↳ on a 3 eqns couplées et 3 variables couplées  $(v, F, M)$  et on peut combiner les 3 eqns précédentes pour obtenir l'edp vérifiée par  $y(x, t)$ :

$$(\text{TNC}) \Rightarrow F = T \frac{\partial y}{\partial x} - \frac{\partial \Pi}{\partial x}$$

$$(\text{PFD}) \Rightarrow \mu \frac{\partial^2 y}{\partial t^2} = T \frac{\partial^2 y}{\partial x^2} - \frac{\partial^2 \Pi}{\partial x^2}$$

$$\mu \frac{\partial^2 y}{\partial t^2} = T \frac{\partial^2 y}{\partial x^2} - EI \frac{\partial^4 y}{\partial x^4}$$

$$\frac{\partial^2 y}{\partial t^2} = c^2 \frac{\partial^2 y}{\partial x^2} - \frac{EI}{\mu} \frac{\partial^4 y}{\partial x^4}$$

- Pptés: 1) On retrouve l'EDC si  $E \rightarrow 0$ , i.e. si la corde n'est pas déformable
- 2) Si  $T_0 \rightarrow 0$  alors on trouve l'eqn des poutres.
- 3) Cette eqn traduit tjrs la propagation év. ds l milieu LMI.
- 4) Pas une uniq vitesse.

## 4) Déf. de la dispersion

### a) RD

• Une fois qu'on a obtenu l'eqn d'onde linéaire, on en cherche 1 sol<sup>o</sup> sous la forme d'1 OP3S : onde plane pseudo-progressive unidirectionnelle

$$\underline{A}(x,t) = \underline{A}_0 e^{i(\omega t - \underline{k}x)} + c.c. \quad \text{où } \omega \in \mathbb{R}_+, \underline{k} \in \mathbb{C}$$

avec  $\underline{k} = k' - ik''$

choix  
partie imag.

partie réelle

• Interprétation:  $A(x,t) = A_0 e^{-k''x} \cos(\omega t - k'x + \varphi)$

$k''$ : décrit l'atténuation / amplification de l'onde.

$$v = \frac{\omega}{k'}$$

$\Delta \neq$  amortissement  
 $k'$  décrit la propagation de l'onde.

- On appelle alors relat de dispersion (RD) la relat qui lie  $\underline{k}$  à  $\omega$  pour les OP'S sol° de l'eqn d'onde.

## b) Vitesse de $\psi$

- On définit alors la vitesse de  $\psi$  comme la vitesse de propagation de  $\psi$ , i.e.

$$v_{\psi} = \frac{\omega}{k'(\omega)}$$

RD

• RQ: À 3D, on a  $\vec{v}_{\psi} = \frac{\omega}{|\vec{k}'|} \frac{\vec{k}'}{|\vec{k}'|}$

- On dit alors qu'un milieu est dispersif si  $v_{\psi}$  dépend explicitement de  $\omega$ .

- RQ: On parle de dispersion par analogie avec l'optiq.

## 5) Critères de dispersion

- La dispersion par un milieu est linéaire peut être causée par  $\neq$  phénomènes.

### a) Fréq. caractéristiq.

- L'existence d'une fréq. caractéristiq. du milieu

traduit l'existence de processus internes d'interaction de l'onde avec le milieu.

• C'est le cas de l'éqn de K-G.

• RD:  $-\omega^2 + \omega_0^2 + \underline{k}^2 c^2 = 0 \Rightarrow$

$$\underline{k}^2 = \frac{\omega^2 - \omega_0^2}{c^2}$$

\* Si  $\omega > \omega_0$  alors  $\underline{k} = \pm \frac{\sqrt{\omega^2 - \omega_0^2}}{c} = k'$  (réel)

et  $v_g = \frac{\omega}{k'} = \frac{c}{\sqrt{1 - (\frac{\omega_0}{\omega})^2}}$

Si  $\omega \rightarrow +\infty$  alors  $k^2 \approx \frac{\omega^2}{c^2}$  et  $v_g \approx c$ : on

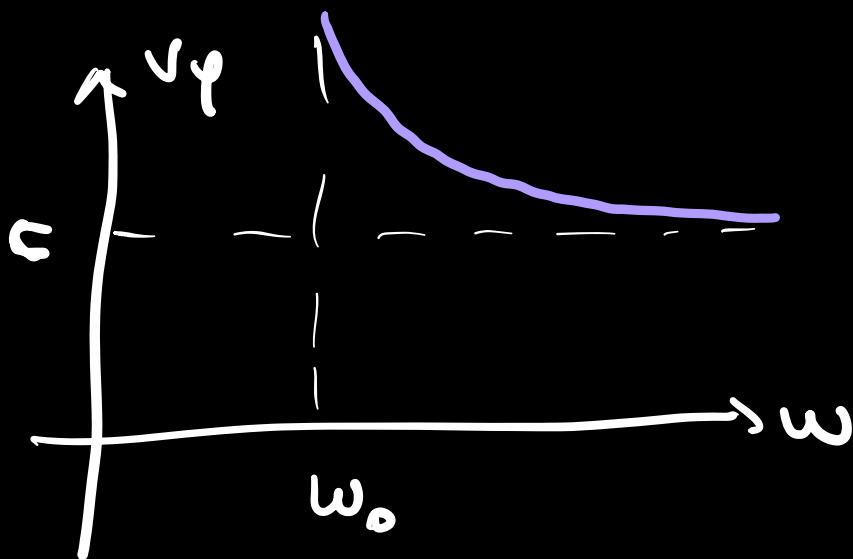
retrouve l'éqn de D'Alembert: le milieu est excité bien au-delà de sa fréq. caract. et est totalement inerte.

\* Si  $\omega < \omega_0$  alors  $\underline{k} = -i \frac{\sqrt{\omega_0^2 - \omega^2}}{c} = -ik''$

en ne garde  
qu'1 sol<sup>o</sup>  
car pas de dv

et  $v_g$  n'est pas def.

RD: Parfois, on appelle  $\omega_0$  la pulsat plasma.



Q2: Dans un plasma,  $c$  est la célérité de la lumière dans le vide MAIS cela ne contredit pas les lois de la RR car  $v_p$  n'est pas la vitesse de propagation d'un signal  $\varphi$  (c'est le cas d'un paquet d'onde,  $\varphi \otimes$  loin).

• Structure de l'onde:

\* Si  $\omega < \omega_0$ , alors  $A(x,t) = A_0 e^{-k''x} \cos(\omega t + \varphi)$

↳ on obtient 1 OS dont l'amplitude décroît exp: c'est l'onde évanescence

↳ il y a atténuation  $\emptyset$  propagation.

\* Si  $\omega > \omega_0$  alors  $A(x,t) = A_0 \cos(\omega t \pm kx + \varphi)$

↳ on obtient 1 OPPS: il y a propagation  $\emptyset$  atténuation.

• Aspect énergétique: L'éqn de K-G traduit  
 1 propagation rév., i.e.  $\emptyset$  échange d'énergie  
 avec le milieu  $\alpha$  donc  $\emptyset$  absorp.

Rappel: Pour 1 fil de torsion

$$M = -C(\theta - \theta_0)$$

$$\delta W = M d\theta = -C(\theta - \theta_0) d\theta$$

$$= -dE_{pt}$$

où  $E_{pt} = \frac{1}{2} C (\theta - \theta_0)^2$ .

Donc pour 1 pendule, l'énergie mécaniq

$E_m = E_c + E_{pp} + E_{pt}$  est conservée.

Or  $E_m = \frac{1}{2} m l^2 \dot{\theta}_m^2 - mgl \cos \theta_m + \frac{1}{2} C (\theta_m - \theta_{m+1})^2$

*répartis entre les 2 pendules*

$$+ \frac{1}{4} C (\theta_m - \theta_{m-1})^2$$

$$= \frac{1}{2} m l^2 \left( \frac{\partial \theta}{\partial t} \right)^2 + \frac{1}{2} mgl \theta^2 = m l^2 \omega_0^2$$

$$+ \frac{1}{2} C a^2 \left( \frac{\partial \theta}{\partial x} \right)^2$$

*$\rightarrow m l^2 c^2$*

$$E_m = \frac{1}{2} m l^2 \left[ \left( \frac{\partial \theta}{\partial t} \right)^2 + c^2 \left( \frac{\partial \theta}{\partial x} \right)^2 + \omega_0^2 \theta^2 \right]$$

• On peut donc déf. 1 densité linéiq d'énergie:

$$\mathcal{E} = \frac{E_m}{a} = \frac{ml^2}{2a} \left[ \left( \frac{\partial \theta}{\partial t} \right)^2 + c^2 \left( \frac{\partial \theta}{\partial x} \right)^2 + \omega_0^2 \theta^2 \right]$$

more linear

$$\begin{aligned} \frac{\partial \mathcal{E}}{\partial t} &= \frac{ml^2}{a} \left\{ \frac{\partial \theta}{\partial t} \frac{\partial^2 \theta}{\partial t^2} + c^2 \frac{\partial \theta}{\partial x} \frac{\partial^2 \theta}{\partial x \partial t} + \omega_0^2 \theta \frac{\partial \theta}{\partial t} \right\} \\ &= \frac{ml^2}{a} \left\{ c^2 \frac{\partial^2 \theta}{\partial x^2} \frac{\partial \theta}{\partial t} + c^2 \frac{\partial \theta}{\partial x} \frac{\partial^2 \theta}{\partial x \partial t} \right\} \\ &= \frac{ml^2 c^2}{a} \frac{\partial}{\partial x} \left( \frac{\partial \theta}{\partial x} \frac{\partial \theta}{\partial t} \right) \end{aligned}$$

$$\frac{\partial \mathcal{E}}{\partial t} + \frac{\partial \Pi}{\partial x} = 0 \quad \text{ou} \quad \Pi = -\frac{ml^2 c^2}{a} \frac{\partial \theta}{\partial x} \frac{\partial \theta}{\partial t}$$

• Pour  $\omega < \omega_0$  (onde évanescente),

$$\theta(x, t) = \theta_0 e^{-k'' x} \cos(\omega t + \varphi)$$

$$\frac{\partial \theta}{\partial x}(x, t) = -k'' \theta_0 e^{-k'' x} \cos(\omega t + \varphi)$$

$$\frac{\partial \theta}{\partial t}(x, t) = -\omega \theta_0 e^{-k'' x} \sin(\omega t + \varphi)$$

$$\Rightarrow \Pi(x, t) \propto e^{-2k'' x} \sin(2\omega t + 2\varphi)$$

donc

$$\langle \Pi(x, t) \rangle = 0$$

↳ Ainsi, l'onde n'est pas transmise de la milieu  $x$  & réfléchit totalement à l'entrée. Il n'y a donc pas de dissipation par le milieu car sinon  $\langle \pi \rangle \neq 0$  et dériverait au cours de la propagation.

- Attention, c'est  $\langle \pi \rangle = 0$  et pas  $\pi$ , ce qui signifie  $\bar{q}$  de l'énergie rentre & sort du milieu mais qu'en moyenne sur 1 période, aucune énergie n'est rentrée ou sortie de la milieu.

### b) DDLs supplémentaires

- L'existence de DDLs supplémentaires permet de stocker l'énergie & de la restituer ultérieurement.
- C'est le cas de la corde de Helmholtz avec raideur  $\infty$ .
- Calcul de la R. D.

$$\frac{\partial^2 y}{\partial t^2} - c^2 \frac{\partial^2 y}{\partial x^2} + \frac{EI}{\mu} \frac{\partial^4 y}{\partial x^4} = 0$$

$$\hookrightarrow -\omega^2 + k^2 c^2 + \frac{EI}{\mu} k^4 = 0$$

$$\underline{k}^4 + \frac{\mu c^2}{EI} \underline{k}^2 - \frac{\mu \omega^2}{EI} = 0$$

$$\Delta = \frac{\mu^2 c^4}{E^2 I^2} + 4 \frac{\mu \omega^2}{EI} = \frac{\mu^2 c^4}{E^2 I^2} \left[ 1 + \frac{4EI\omega^2}{\mu c^4} \right]$$

$$\Rightarrow \underline{k}^2 = \frac{-\mu c^2}{2EI} \left[ 1 \pm \sqrt{1 + \frac{4EI\omega^2}{\mu c^4}} \right]$$

↳ 1 branche (+)  $\underline{k}^2 < 0$

$$\Rightarrow \underline{k} = -ik'' \text{ avec } k'' = \sqrt{\frac{\mu c^2}{2EI} \left[ 1 + \sqrt{1 + \frac{4EI\omega^2}{\mu c^4}} \right]}^{1/2}$$

↳ 1 branche (-)  $\underline{k}^2 > 0$

$$\Rightarrow \underline{k} = k' \text{ avec } k' = \pm \sqrt{\frac{\mu c^2}{2EI} \left[ \sqrt{1 + \frac{4EI\omega^2}{\mu c^4}} - 1 \right]}^{1/2}$$

CSQ: Pour  $\forall \omega$ , il y a superposition d'ondes évanescentes et d'ondes progressives dont la propagation est dispersive.

• Limit BF :  $\frac{EI\omega^2}{\mu c^4} \ll 1$

La manche (+):  $k'' = \sqrt{\frac{\mu c^2}{EI}}$

La branche (-):  $k' = \pm \sqrt{\frac{\mu c^2}{2EI}} \sqrt{\frac{2EI\omega^2}{\mu c^4}}$   
 $= \pm \frac{\omega}{c}$

$\Rightarrow$  on retrouve le comportement de la corde  $\phi$  flexion ( $E=0$ )

La normal car le terme de flexion va dominer qd la corde est fortement courbée, i.e. à petites longueurs d'onde (i.e. grandes pulsations).

### c) Dissipation

• La dissipation, i.e. l'amortissement de l'onde peut émaner de la dispersion.

• C'est le cas de l'éqn des télégraphistes.

• RD:  $\frac{\partial^2 u}{\partial x^2} - \frac{1}{c^2} \frac{\partial^2 u}{\partial t^2} = (r\Gamma + g\Lambda) \frac{\partial u}{\partial t} + rgu$   
 $-\underline{k}^2 + \frac{\omega^2}{c^2} = (r\Gamma + g\Lambda) i\omega + rg$

$$\underline{k}^2 = \frac{\omega^2}{c^2} - \Gamma g - (\Gamma + g\Lambda) i\omega$$

- Dans le cas  $g \neq 0$ ,  $\underline{k} \in \mathbb{C}$  donc il y a dispersion + atténuation.
- Au contraire, il existe 1 cas (condition de Keavins) + q la propagation est non dispersive (mais avec atténuation).

$$\underline{k}^2 = (k' - ik'')^2 = k'^2 - k''^2 - 2ik'k''$$

$$\begin{cases} k'^2 - k''^2 = \frac{\omega^2}{c^2} - \Gamma g \\ -2k'k'' = -(\Gamma + g\Lambda)\omega \end{cases}$$

On veut q  $k'$  soit linéaire en  $\omega$  pour q  $v_p = \frac{\omega}{k'}$  soit 1 cste.

$$\Rightarrow k' = \frac{\omega}{v_p}$$

$$\text{et } \begin{cases} \frac{\omega^2}{v_p^2} - k''^2 = \frac{\omega^2}{c^2} - \Gamma g \end{cases}$$

$$2k'' = v_p (\Gamma + g\Lambda)$$

Cela n'est possible q si  $v_p = c$  et

$$r g = \frac{v_\varphi^2}{4} (\Gamma + g \Lambda)^2 = \frac{1}{4 \Lambda \Gamma} (\Gamma + g \Lambda)^2$$

$$\Rightarrow (\Gamma - g \Lambda)^2 = 0$$

$$\Rightarrow \boxed{\Gamma = g \Lambda}$$

$$\text{et } k'' = v_\varphi g \Lambda = \sqrt{r g}$$

- CSD: on peut avoir vues les cas possibles
  - ↳ propagation  $\phi$  dispersion ni atténuation
  - ↳ propagation avec dispersion  $\phi$  atténuation
  - ↳ propagation  $\phi$  dispersion avec atténuation
  - ↳ atténuation  $\phi$  propagation.

## II. INFLUENCE DE LA DISPERSION

### 1) Construction d'un paquet d'onde

- On a déjà vu ds le chap. précédent l'intérêt de considérer des paquets d'onde pour avoir 1 signal  $\varphi$ .
- On procède ici de la  $\bar{m}$  manière q D'Alembert mais en  $\Sigma$  les OP3S.
- PBN:  $k \in \mathbb{C}$  donc il faut maintenant j sur  $\omega$ :

$$A(x, t) = \int_{-\infty}^{+\infty} \frac{d\omega}{2\pi} a(\omega) e^{i(\omega t - \underline{k}(\omega)x)}$$

où  $\underline{k}(\omega)$  est donné par la RD.

RD: on a pris  $\omega \in \mathbb{R}$ , ce qui revient à considérer les  $\neq$  branches pour  $\underline{k}$  avec  $\omega \in \mathbb{R}^+$ .

⚠ la cond<sup>o</sup>  $A(x, t)$  réel n'est plus q<sup>a</sup> est à sym. hermitienne car  $\underline{k}(\omega) \in \mathbb{C}$ .

## 2) Dispersion au 1<sup>er</sup> ordre

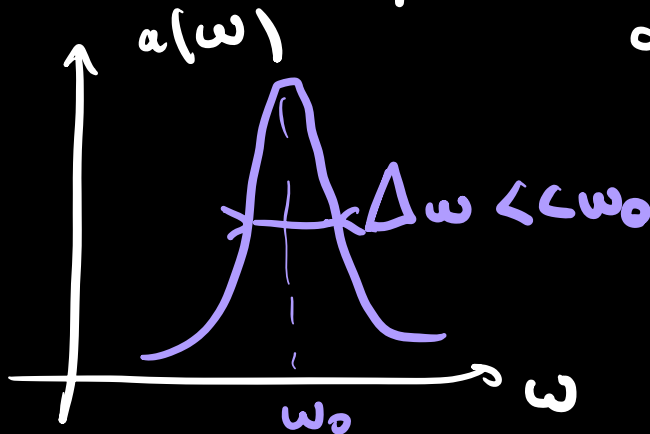
### a) Évolution du paquet d'onde

- On veut étudier la propagation avec dispersion.
  - ↳ Dans le cas de l'ECC,  $v_p = \text{cte}$  et toutes les OPPS se propagent à la même vitesse: propagation  $\phi$  déformé du paquet d'onde.
- Ici, on s'attend à la déformation du paquet d'onde car  $v_p(\omega)$ .
- Pour simplifier, on considère le cas d'un paquet  $\phi$  atténué, i.e.  $\underline{k}(\omega) = k(\omega) \in \mathbb{R}$ .

Alors: 
$$A(x, t) = \int_{-\infty}^{+\infty} \frac{d\omega}{2\pi} a(\omega) e^{i(\omega t - k(\omega)x)}$$

avec  $a^*(\omega) = a(-\omega)$ .

- De  $\oplus$ , pour mettre en évidence  $\oplus$  faiblement l'effet de la dispersion, nous allons considérer le cas d'un paquet d'onde peu étalé spectralement, soit un paquet d'onde de grande durée temporelle.



- Cela va nous permettre de faire 1 DL:

$$k(\omega) = k(\omega_0) + (\omega - \omega_0) \left. \frac{dk}{d\omega} \right|_{\omega_0} + \frac{1}{2} (\omega - \omega_0)^2 \left. \frac{d^2k}{d\omega^2} \right|_{\omega_0}$$

- On va considérer la dispersion au 1<sup>er</sup> ordre, i.e. on va négliger le 2<sup>nd</sup> ordre. Cela ne sera possible  $\bar{q}$  si:

$$\Delta\omega \left. \frac{dk}{d\omega} \right|_{\omega_0} \gg \Delta\omega^2 \left. \frac{d^2k}{d\omega^2} \right|_{\omega_0}$$

$$\Leftrightarrow \left. \frac{dk}{d\omega} \right|_{\omega_0} \gg \Delta\omega \left. \frac{d^2k}{d\omega^2} \right|_{\omega_0}$$

DONC, on voit  $\bar{q}$  dire que le milieu est faiblement dispersif n'a pas de sens en soi car cela dépend de l'extension spectrale du paquet d'onde

considéré.

• On aura alors:

$$A(x,t) = \int_{-\infty}^{+\infty} \frac{d\omega}{2\pi} a(\omega) e^{i[\omega t - k(\omega_0)x - (\omega - \omega_0)x \frac{dk}{d\omega}|_{\omega_0}]}$$
$$= \int_{-\infty}^{+\infty} \frac{d\Omega}{2\pi} a(\omega_0 + \Omega) e^{i[\omega_0 t - k(\omega_0)x]} e^{i\Omega [t - \frac{dk}{d\omega}|_{\omega_0} x]}$$

$$A(x,t) = e^{i\omega_0 [t - x/v_p(\omega_0)]} \times A\left(t - \frac{dk}{d\omega}|_{\omega_0} x\right)$$

porteur qui se propage à la vitesse de  $v$

modulus  $A\pi$

→ enveloppe qui se propage à la vitesse  $\frac{d\omega}{dk}|_{\omega_0}$   
 $\phi$  se déformer.

• On définit alors la vitesse de groupe

$$v_g = \frac{d\omega}{dk} \quad (\vec{v}_g = \nabla_{\vec{k}} \omega)$$

• Dans le cas  $g^{\text{al}} \quad v_g \neq v_p$  car si c'était le cas pourtant alors on aurait:

$$\frac{d\omega}{dk'} = \frac{\omega}{k'} \quad \Leftrightarrow \quad d\ln \omega = d\ln k'$$

$$\Leftrightarrow \omega = ck'$$

$$\Leftrightarrow \text{EOC (car OS } k' \neq 0)$$

• Ainsi, on peut également dire que la propagation est dispersive si  $v_g(\omega)$ .

• Interprétation :  $c$  est la vitesses de propagation de l'enveloppe d'un paquet d'onde quasi-monochromatique dans le régime de faible dispersion unimodale.

\*  $c$  est aussi la vitesse de propagation de l'énergie car cette dernière est prop. à l'amplitude de l'onde au carré généralement.

• L'enveloppe se déplace car toutes les OPPS ne se propagent pas à la même vitesse, de sorte que le lieu d'interférences constructives change au cours de la propagation.

• Cela est bien illustré par la méthode de la stat. qui est l'autre manière de trouver l'évolution de la position du max. de l'enveloppe.

↳ les lieux d'interférences constructives

correspondent au cas où toutes les OPPS constituant le paquet d'onde sont en phase, i.e. le déphasage est ind. de  $\omega$ .

$$A(x, t) = \int_{-\infty}^{+\infty} \frac{d\omega}{2\pi} a(\omega) e^{i(\omega t - k(\omega)x)}$$

$$= \int_{-\infty}^{+\infty} \frac{d\omega}{2\pi} |a(\omega)| e^{i\Phi(\omega, x, t)}$$

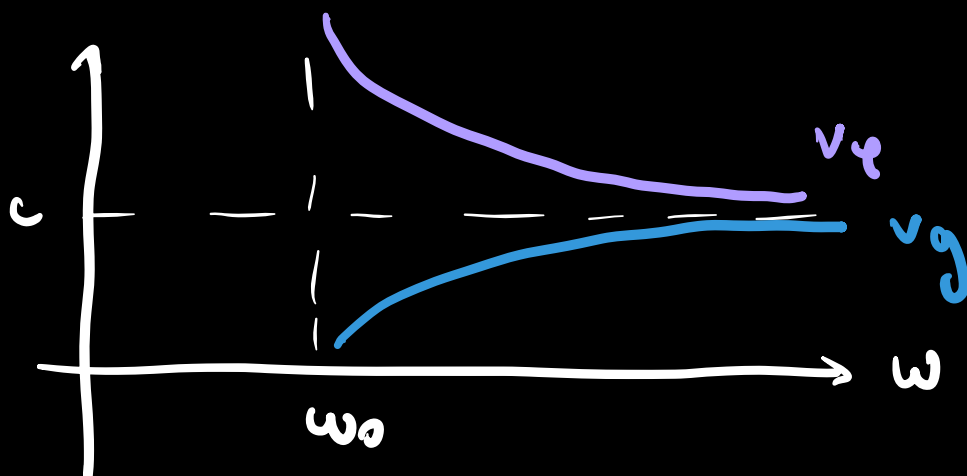
où  $\Phi(\omega, x, t) = \arg(a(\omega)) + \omega t - k(\omega)x$ .

la méthode de la phase stat. donne alors

$$\frac{\partial \Phi}{\partial \omega} = 0 \quad \Leftrightarrow \quad \frac{d}{d\omega} [\arg(a(\omega))] + t - \frac{dk}{d\omega} x$$

$$\Leftrightarrow x = v_g t + \text{cte}$$

- Application:
- EOL:  $v_g = v_\varphi = c$
  - KG:  $v_g = \frac{d\omega}{dk} = \frac{c}{\omega} = c \sqrt{1 - \left(\frac{\omega_0}{\omega}\right)^2}$   
si  $\omega > \omega_0$



En part.  $v_g < c$ , en accord avec les lois de RR.

Req: Ds le cas de K-G, on peut mg  $v_g$  est bien la vitesse de propagation de l'énergie.

$$v_g = \frac{\langle \pi \rangle}{\langle \varepsilon \rangle}$$

$$\theta(x,t) = \theta_0 \cos[\omega t - k(\omega)x + \varphi]$$

$$\begin{aligned} \langle \varepsilon \rangle &= \frac{m l^2}{2a} \theta_0^2 [\omega^2 + k^2 c^2] \\ &= \frac{m l^2}{2a} \theta_0^2 \omega^2 \end{aligned}$$

$$\langle \pi \rangle = \frac{m l^2 c^2}{2a} \theta_0^2 \omega k(\omega)$$

$$\begin{aligned} \Rightarrow \frac{\langle \pi \rangle}{\langle \varepsilon \rangle} &= \frac{c^2 k(\omega)}{\omega} = c \sqrt{1 - \left(\frac{\omega_0}{\omega}\right)^2} \\ &= v_g \end{aligned}$$

### b) Régimes de dispersion

• Par analogie avec l'optiq, on dif. 2 régimes de dispersion:

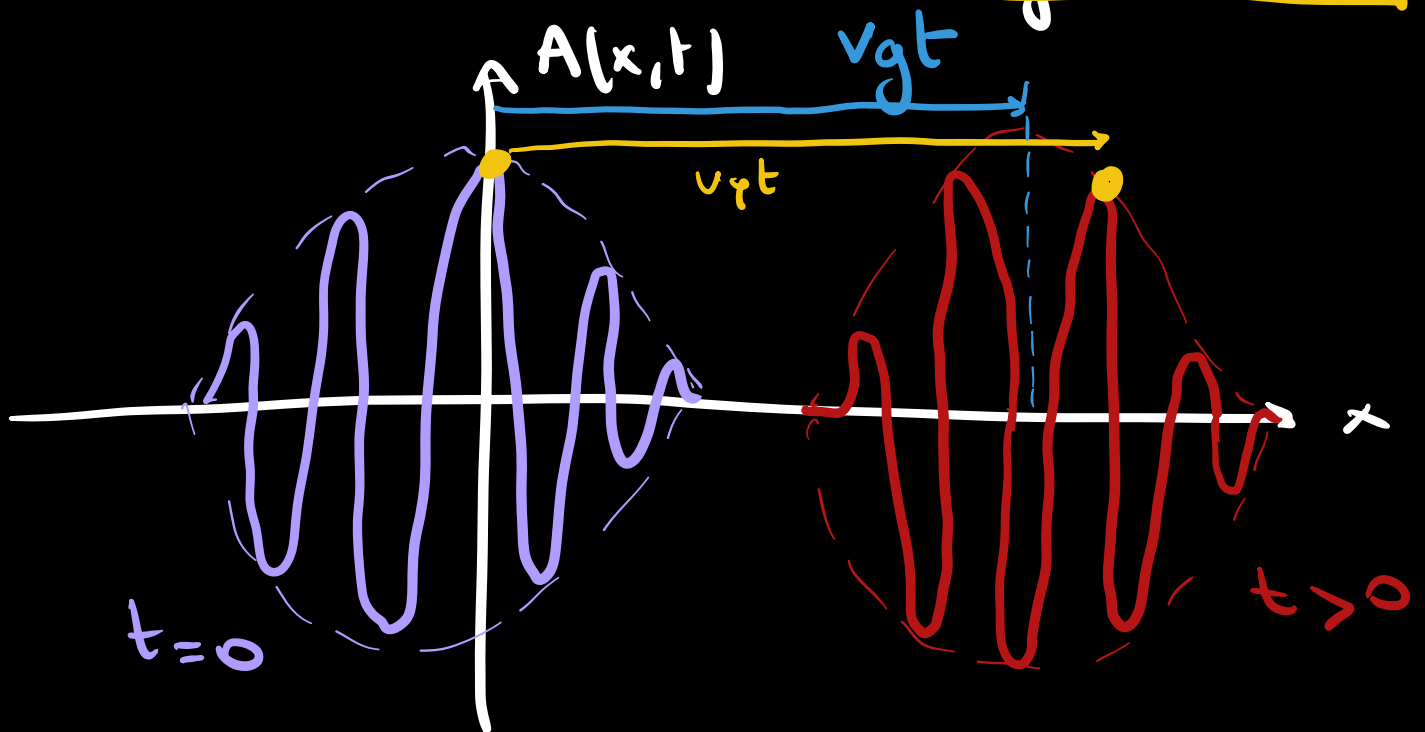
- \* normale si  $v_p > v_g$
- \* anormale si  $v_p < v_g$

ex: Pour l'eqn de K-G, on est ds le régime de dispersion normale.

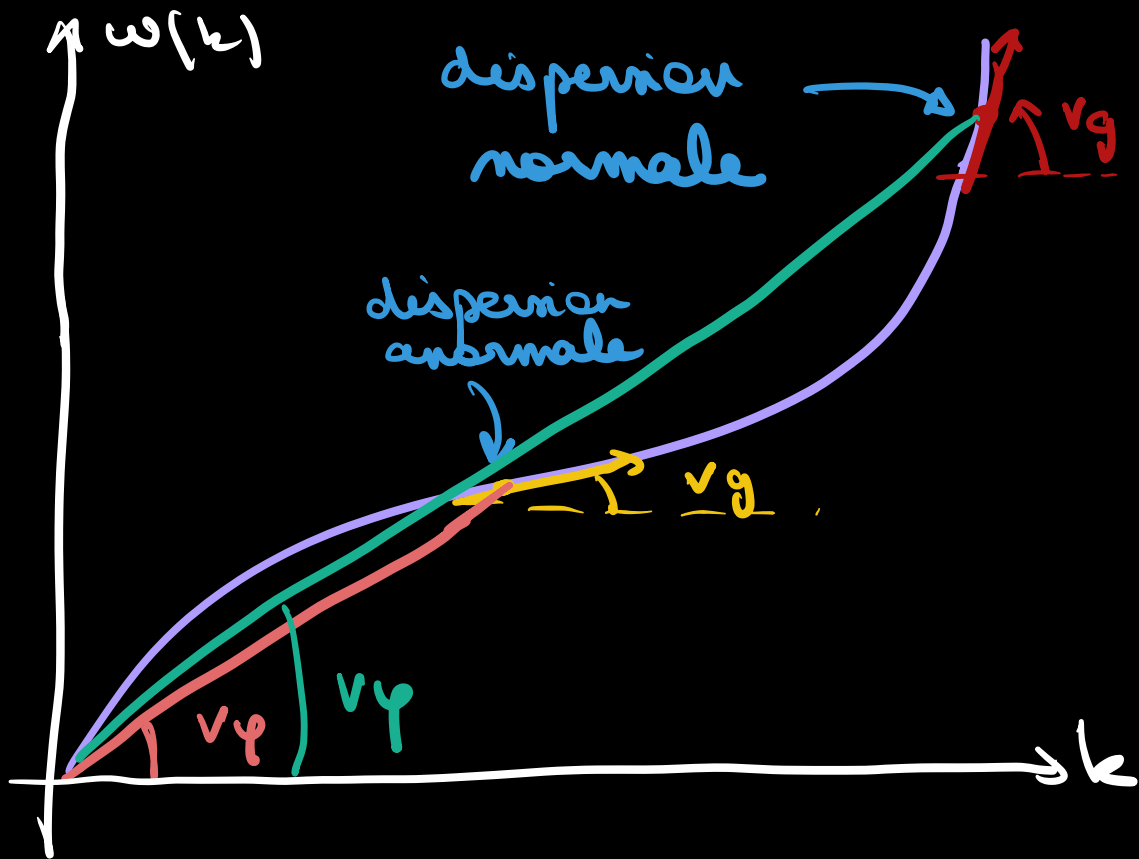
ex 2: Schrödinger  $E = \hbar \omega = \frac{\hbar^2 \vec{k}^2}{2m} \Rightarrow \omega(\vec{k}) = \frac{\hbar \vec{k}^2}{2m}$

$$\begin{cases} v_p = \frac{\hbar \vec{k}}{2m} \\ v_g = \frac{\hbar \vec{k}}{m} \end{cases} \rightarrow \text{propagat avec dispersion anormale}$$

- Ds les 2 cas, on observe | glissement de  $\varphi$ .



- À quelle cond<sup>o</sup> on est ds le régime de dispersion normale/anormale?  
↳ on trace la RD:



↳ formule de Rayleigh

$$v_{\varphi}(\omega) = \frac{\omega}{k'(\omega)} \quad \Leftrightarrow \quad v_{\varphi}(k') = \frac{\omega(k')}{k'}$$

$$\frac{dv_{\varphi}}{dk'}(k') = \frac{v_g(k')}{k'} - \frac{v_{\varphi}(k')}{k'}$$

$$\Rightarrow v_g = v_{\varphi} + k' \frac{dv_{\varphi}}{dk'}(k')$$

$$v_g = v_{\varphi} - \lambda \frac{dv_{\varphi}}{d\lambda} \quad \text{où } \lambda = \frac{2\pi}{k'}$$

⇒ on en déduit qd la dispersion est normale si  $v_{\varphi} \nearrow$  qd  $\lambda \nearrow$ .

c) Absorption & dispersion anormale

- Si  $\underline{k}(\omega)$  est 1<sup>o</sup>  $\mathbb{C}$  analytique ds le demi-plan supérieur (pour  $\omega \in \mathbb{C}$ ) alors  $k'(\omega)$  et  $k''(\omega)$  sont reliées par les relat de Kramers-Kronig

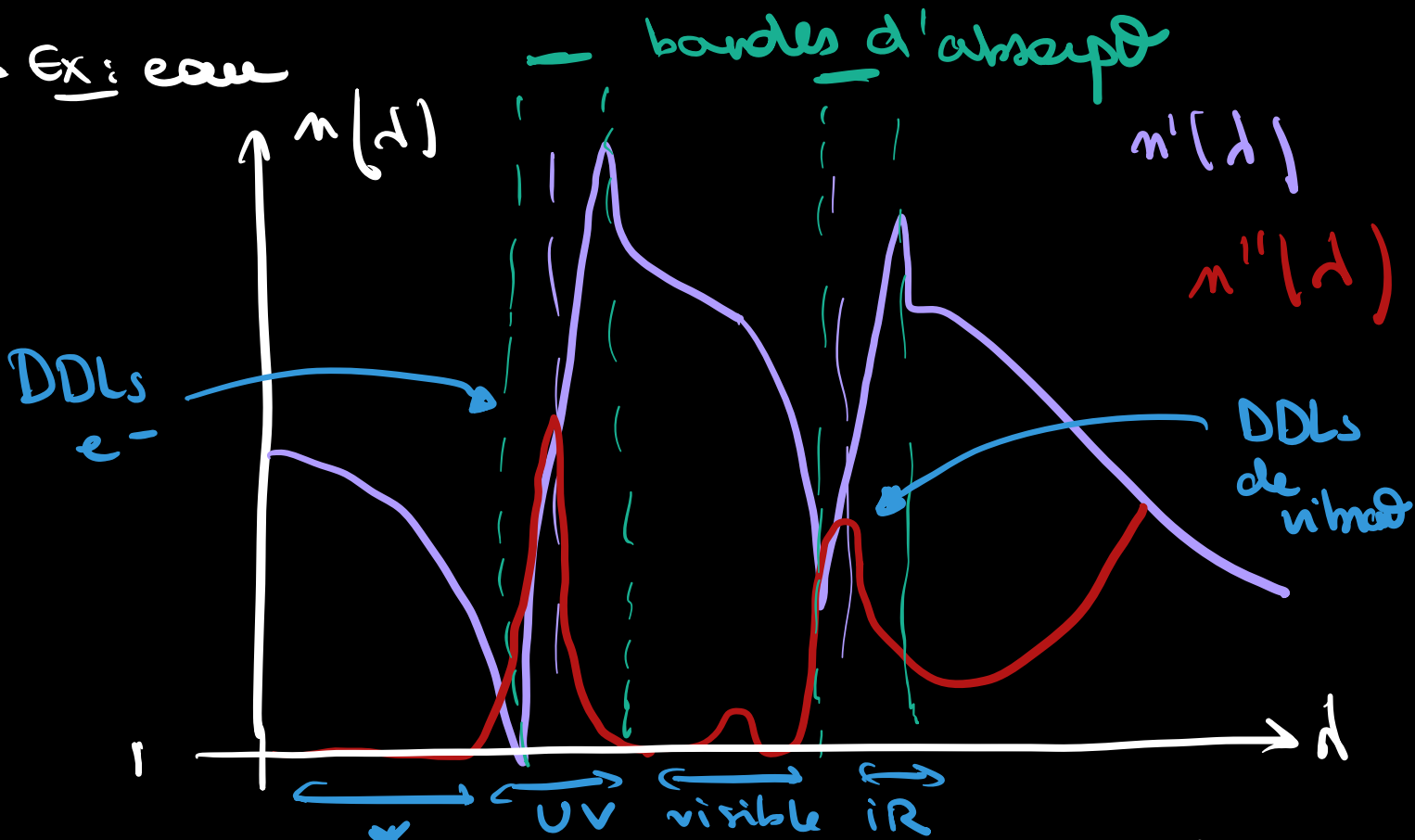
$$\left\{ \begin{array}{l} k'(\omega) = \frac{1}{\pi} \text{v.p.} \int_{-\infty}^{+\infty} \frac{k''(\Omega)}{\Omega - \omega} d\Omega \\ k''(\omega) = \frac{1}{\pi} \text{v.p.} \int_{-\infty}^{+\infty} \frac{k'(\Omega)}{\omega - \Omega} d\Omega \end{array} \right.$$

- Req: ce n'est pas vrai pour K-G car  $\underline{k}(\omega)$  varie discontinûment à  $\omega_0$ .

- C'est essentiellement le cas en présence d'absorption (ex: ondes epe ds 1 diélectriq).

$$\left\{ \begin{array}{l} v_p(\omega) = \frac{c}{n(\omega)} \\ v_g(\omega) \end{array} \right. \quad \text{avec} \quad \left\{ \begin{array}{l} k'(\omega) = \frac{\omega}{c} n(\omega) \\ k''(\omega) = \frac{\omega}{c} n''(\omega) \end{array} \right.$$

• Ex: eau



$n'(\lambda) \rightarrow$  qd  $\lambda \nearrow \Rightarrow v \uparrow$  qd  $\lambda \nearrow$   
 $\Rightarrow$  dispersion normale

On en observe de la dispersion normale sauf ds les bandes d'absorption où la dispersion est anormale.

Lo loin des bandes d'absorption, le régime de faible dispersion est vérifié : les résultats précédents sont corrects.

Lo proche de ds les bandes d'absorption,  $n'$  varie brusquement ( $k'$  aussi) et  $n''$  n'est pas négligeable : les résultats précédents ne sont pas corrects.

On a alors  $v_g = v_p - \lambda \frac{dv_p}{d\lambda} = v_p + \frac{dv_p}{n'} \frac{dn'}{d\lambda}$ .

$\Rightarrow \frac{v_g}{c} = \frac{1}{n'} \left[ 1 + \frac{\lambda}{n'} \frac{dn'}{d\lambda} \right] = \frac{1}{n'} \left[ 1 + \frac{d \ln n'}{d \ln \lambda} \right]$

Ds la bande d'absorption  $\frac{dn'}{d\lambda} > 0$  et la vitesse de groupe peut devenir  $> \frac{d\lambda}{\lambda} c$ . En frontière de bande,  $\frac{dn'}{d\lambda} < 0$  et la vitesse de groupe peut devenir  $< 0$ .

⚠ interprétation de Partelli à prendre avec des précautions ( $\omega \leftrightarrow \lambda$ ).

• CSG:  $v_g$  n'est plus la vitesse de propagation de l'énergie ds les zones de forte dispersion, en part. (mais pas seulement) ds les zones de forte absorption.

RQ: Ds les zones de forte dispersion & absorption, il faut introduire 2 nouvelles vitesses: celle de propagation du signal (qui dépend de sa forme  $\alpha$  qui diffère de  $v_p$ ) et la vitesse de propagation de l'énergie (qui diffère de  $v_g$  et qui reste  $< \frac{d\lambda}{\lambda} c$ ), car le paquet d'onde se déforme très largement.

3) Dispersion au 2<sup>nd</sup> ordre

• Au 1<sup>er</sup> ordre, l'enveloppe se propageait  $\phi$  se déformer. Qu'en est-il au 2<sup>nd</sup> ordre?  
 On en veut décider la déformation du paquet d'ondes.

• On pourrait le DL de la RD au 2<sup>nd</sup> ordre, tjs ds l'hyp. d'absence d'atténuation et pour 1 paquet d'onde quasi  $\sim$  (ici on préfère 1 DL de  $\omega$  en f<sup>o</sup> de  $k$ ):

$$\omega(k) = \omega(k_0) + (k - k_0) \left. \frac{d\omega}{dk} \right|_{k_0} + \frac{1}{2} (k - k_0)^2 \left. \frac{d^2\omega}{dk^2} \right|_{k_0}$$

• Qualitativement: Pour 1 paquet d'onde 1 per<sup>k</sup>  
 ⊕ large spectrale<sup>m</sup>  $\bar{q}$  précédem<sup>m</sup> (de telle sorte qu'on ait besoin d'1 DL<sub>2</sub> de la RD), on peut le décomposer en 1 superposit<sup>n</sup> de paquets d'onde étroits spectrale<sup>m</sup> qui se propagent  $\phi$  déformés à  $v_g$ .

MAIS comme  $v_g(k)$ , les  $\neq$  paquets d'onde se propagent à des vitesses  $\neq$  et en va ds. à tps longs l'étalement du paquet d'onde global.

$$v_g(k) = \frac{d\omega}{dk} = v_g(k_0) + \left. \frac{d^2\omega}{dk^2} \right|_{k_0} (k - k_0)$$

On voit l'étalement comme l'incertitude sur la pos<sup>n</sup> du maximum du paquet d'onde

Il y a 2 sources d'incertitudes : (i) l'étalement initial du paquet d'onde et (ii) la dispersion des vitesses de groupe.

Pour composer des incertitudes, comme

$$x(t) = x(0) + vgt, \text{ on a: } \Delta x(t)^2 = \Delta x(0)^2 + \Delta v_g^2 t^2$$

$$\text{avec } \Delta v_g \approx \frac{d^2\omega}{dk^2} \Delta k \approx \frac{d^2\omega}{dk^2} \frac{1}{\Delta x(0)}$$

(ppté de la TF sur les largeurs réelle et spectrale)

• En réalité, ici on travaille avec des écarts-types, donc il faudrait écrire :

$$\Delta x(t) = \sqrt{\Delta x_0^2 + \left[ \frac{2tP}{\Delta x_0} \right]^2}$$

$$\Delta x_0 = \Delta x(0)$$

$$\text{où } k_0 = k(\omega_0)$$

$$\text{et } P = \frac{1}{2} \left. \frac{d^2\omega}{dk^2} \right|_{k_0}$$

• Pptés : (1) le paquet d'onde s'étale au cours du tps :  $\Delta x(t) \nearrow$  qd  $t \nearrow$ .

(2) L'étalement est ballistique à tps longs :  $\Delta x(t) \sim t$

(3) le tps typiq d'étalement est t. q

$$\Delta x_0 \sim \frac{\tau_c}{\Delta x_0} \left| \frac{d^2\omega}{dk^2} \right|_{k_0}$$

$$\Leftrightarrow \tau_c = \frac{\Delta x_0^2}{2|P|}$$

↳ il y a qd  $\Delta x_0$  et qd la dispersion  
 ↑, autrement dit les paquets d'onde  
 peu étendus s'évalent ⊕ vite.

• Quantitativement: (on écrit le paquet d'onde  
 en f° de  $k$  plutôt q'  $\omega$  car on a vu q' c'était  
 la dérivée recende de  $\omega$  par rapport à  $k$   
 qui comptait).

$$\begin{aligned}
 A(x, t) &= \int_{-\infty}^{+\infty} \frac{dk}{2\pi} a(k) e^{i[\omega(k)t - kx]} \\
 &= \int_{-\infty}^{+\infty} \frac{dk}{2\pi} a(k) e^{i[\omega(k_0)t + (k-k_0)v_g/k_0 t \\
 &\quad + (k-k_0)^2 \rho t - k_0 x \\
 &\quad - (k-k_0)x]} \\
 &= e^{i k_0 [v_g(k_0)t - x]} A_e(x, t)
 \end{aligned}$$

$$\text{où } A_e(x, t) = \int_{-\infty}^{+\infty} \frac{dK}{2\pi} a(k_0 + K) e^{iK[v_g t - x]} e^{iK^2 \rho t}$$

On cherche alors 1 eqn vérifiée par l'enveloppe.  
 Pour cela, on remarq q':

$$\begin{aligned}
 \text{TF}_x[A_e](K, t) &= a(k_0 + K) e^{iK v_g t} e^{iK^2 \rho t} \\
 &= \tilde{A}_e(K, t)
 \end{aligned}$$

$$\text{Alors } \frac{\partial \tilde{A}_e}{\partial t} = (iK v_g + iK^2 \rho) \tilde{A}_e$$

$$\text{et TF} \left[ \frac{\partial A_e}{\partial x} \right] = -ik A_e \tilde{\phantom{A_e}}$$

Donc en prenant la TF<sup>-1</sup> de l'éqn précédente, on trouve:

$$\frac{\partial A_e}{\partial t} = -v_g \frac{\partial A_e}{\partial x} - i P \frac{\partial^2 A_e}{\partial x^2}$$

$$i \left[ \frac{\partial A_e}{\partial t} + v_g \frac{\partial A_e}{\partial x} \right] = P \frac{\partial^2 A_e}{\partial x^2}$$

- On se place ds le réf. comobile avec le sommet de l'enveloppe, i.e. se déplaçant à la vitesse de groupe.

$$\begin{cases} \bar{z} = x - v_g t \\ \tau = t \end{cases}$$

$$\text{Alors } \begin{cases} \frac{\partial A_e}{\partial t} = \frac{\partial A_e}{\partial \tau} - \frac{\partial A_e}{\partial \bar{z}} v_g \\ \frac{\partial A_e}{\partial x} = \frac{\partial A_e}{\partial \bar{z}} \end{cases}$$

$$\Rightarrow \boxed{i \frac{\partial A_e}{\partial \tau} = P \frac{\partial^2 A_e}{\partial \bar{z}^2}}$$

• Ppté: 1) C'est l'eqn de Schrödinger: en part. elle décrit la propagation du paquet d'onde.

2) Elle ressemble à l'eqn de la chaleur: en part., on s'attend à l'étalement de l'enveloppe.

• On peut résoudre exactement l'eqn précédente en introduisant la TF spatiale de  $A_e$  (comme pour résoudre l'eqn de diffusion):

$$\tilde{A}_e(q, \tau) = \int_{-\infty}^{+\infty} d\xi A_e(\xi, \tau) e^{iq\xi}$$

$$\Leftrightarrow A_e(\xi, \tau) = \int_{-\infty}^{+\infty} \frac{dq}{2\pi} \tilde{A}_e(q, \tau) e^{-iq\xi}$$

Alors

$$\left\{ \begin{array}{l} \frac{\partial A_e}{\partial \tau} \xrightarrow{\text{TF}} \frac{\partial \tilde{A}_e}{\partial \tau} \\ \frac{\partial A_e}{\partial \xi} \xrightarrow{\text{TF}} -iq \tilde{A}_e \end{array} \right. \sim$$

$$\Rightarrow i \frac{\partial \tilde{A}_e}{\partial \tau} = -q^2 P \tilde{A}_e$$

$$\hookrightarrow \tilde{A}_e(q, \tau) = \tilde{A}_e(q, 0) e^{iq^2 P \tau}$$

DONC finalement, en a :

$$A_e(\xi, \tau) = \int_{-\infty}^{+\infty} \frac{dq}{2\pi} A_e(q, 0) e^{-iq\xi + iq^2 P \tau}$$

Cas particulier: paquet d'onde Gaussien

$$A_e(x, 0) = \frac{A_0}{\sqrt{2\pi\sigma^2}} e^{-\frac{x^2}{2\sigma^2}}$$

$$\Rightarrow A_e(\xi, 0) = \frac{A_0}{\sqrt{2\pi\sigma^2}} e^{-\frac{\xi^2}{2\sigma^2}}$$

$$\Rightarrow A_e(q, 0) = A_0 e^{-\frac{q^2\sigma^2}{2}}$$

DONC  $A_e(\xi, \tau) = A_0 \int_{-\infty}^{+\infty} \frac{dq}{2\pi} e^{-\frac{q^2\sigma^2}{2} - iq\xi + iq^2 P \tau}$

$$\begin{aligned} A_e(\xi, \tau) &= \frac{A_0}{\sigma} \int_{-\infty}^{+\infty} \frac{du}{2\pi} e^{-\frac{u^2}{2} - iu\xi/\sigma + i\frac{\tau}{\sigma^2} u^2 P} \\ &= \frac{A_0}{\sigma} \int_{-\infty}^{+\infty} \frac{du}{2\pi} e^{-\frac{1}{2} \left(1 - 2i\frac{P}{\sigma^2} \tau\right) u^2 - iu\xi/\sigma} \\ &= \frac{A_0}{\sigma} \int_{-\infty}^{+\infty} \frac{du}{2\pi} e^{-\frac{1}{2} \left(1 - \frac{2iP}{\sigma^2} \tau\right) \left[ u + \frac{i\xi/\sigma}{1 - \frac{2iP}{\sigma^2} \tau} \right]^2} \\ &\quad e^{-\frac{\xi^2}{2\sigma^2} \left(1 - \frac{2iP}{\sigma^2} \tau\right)} \\ &= \frac{A_0}{2\pi\sigma} \sqrt{\frac{2\pi}{1 - \frac{2iP}{\sigma^2} \tau}} e^{-\frac{\xi^2}{2\sigma^2} \left(1 - \frac{2iP}{\sigma^2} \tau\right)} \end{aligned}$$

$$\text{ou } 1 - \frac{2iP\tau}{\sigma^2} = \sqrt{1 + \left(\frac{2P\tau}{\sigma^2}\right)^2} e^{-i\phi}$$

$$\text{où } \phi = \arctan\left(\frac{2P\tau}{\sigma^2}\right)$$

$$\Rightarrow A_e(\xi, t) = \frac{A_0 e^{i\phi/2}}{\sigma \sqrt{2\pi} \left[1 + \left(\frac{2P\tau}{\sigma^2}\right)^2\right]^{1/4}} e^{-\frac{\xi^2}{2\sigma^2} \frac{1 + \frac{2iP\tau}{\sigma^2}}{1 + \left(\frac{2P\tau}{\sigma^2}\right)^2}}$$

$$\hookrightarrow |A_e(\xi, t)| \propto e^{-\frac{\xi^2}{2\sigma(t)^2}}$$

$$\text{où } \sigma(t) = \sqrt{\sigma^2 + \left(\frac{2P\tau}{\sigma}\right)^2}$$

Donc le paquet d'onde reste Gaussien et s'étale. De  $\ominus$ , on a trouvé exactement ce que nous avions obtenu de manière qualitative.

RQ: Les résultats obtenus de cette sect sont en réalité exacts (et pas 1 DL<sub>2</sub>) si la RD est quadratique, i.e.  $\omega(k) \propto k^2$ . C'est le cas de l'eqm de Schrödinger.

#### 4) Impédance propogative

• Ds le cas gal, on ne peut plus déf. d'impédance

ce propagative contrairement à l'eqm de D'Alembert

i) il y a à priori plus de 2 grandeurs  
couplées (dispersion due à des DAs  
supplémentaires)

ii) les sol° ne sont plus obtenus par la  
méthode des caractéristiq.

- Si on se restreint aux OP<sup>3</sup>S pour l'phénomène  
lin., alors toutes les grandeurs seront  
harmoniq & donc prop.

↳ on peut étendre la not d'impédance  
de ce cas NAIS à priori  $\underline{Z}(\omega)$ .

- Ex: câble coax. avec pertes **complexe** ↑ **dépend de**  
↑  $\omega$

$$\underline{u}(x, t) = \underline{u}_0 e^{i(\omega t - \underline{k}x)}$$

$$\frac{\partial u}{\partial x} = -\Lambda \frac{\partial i}{\partial t} - r i$$

$$\Rightarrow \underline{Z} = \frac{u}{i} = \frac{r + i\omega\Lambda}{i\underline{k}}$$

$$\hookrightarrow -i\underline{k}u = -\Lambda i\omega i - r i \Rightarrow \underline{Z}(\omega) = \frac{\omega\Lambda - ir}{\underline{k}}$$

### III. AUTRES SOURCES DE DISPERSION

# 1) Dispersion par les NLS

• Qualitativement, de la cas d'l eqn d'onde NL, on peut avoir l compensation de la dispersion par les NLS : on peut donc avoir propagation d'l paquet d'onde localisé en tps / espace qui se propage φ déformé.

↳ onde solitaire ou soliton.

## a) Soliton ds l fibre optiq

① faisceau lumineux intense : effet Kerr optiq  $\alpha$  eqn de Schrödinger NL.  
Pour l diélectriq centrosym. éclairé par l chp  $\vec{E}$  intense, l indice optiq varie selon la loi  
$$n(\omega, I) = n_0(\omega) + \frac{\alpha}{\omega} I$$
 où  $\alpha > 0$  est  $I$  : intensité lumineuse.

Alors en dehors des bandes d'absorption, et pour l paquet d'onde quasi -  $\nu$ , on a :

$$k = \frac{n(\omega, I)\omega}{c} = \frac{n_0(\omega)\omega}{c} + \frac{\alpha}{c} I$$

$$\Rightarrow \omega = \frac{c}{n_0(\omega)} \left[ k - \frac{\alpha}{c} I \right] = \omega(k, I)$$

$$\text{Alors } \omega = \omega(k_0, 0) + (k - k_0) \left. \frac{\partial \omega}{\partial k} \right|_{k_0, 0}$$

$$+ \frac{1}{2} (k - k_0)^2 \frac{\partial^2 \omega}{\partial k^2} \Big|_{k_0, 0} + \frac{\partial \omega}{\partial I} \Big|_{k_0, 0} I,$$

de l'hyp. où on peut négliger tous les termes suivants de devpt:

$$\cdot \frac{\partial^2 \omega}{\partial I^2} \Big|_{k_0, 0} I^2 \ll \frac{\partial \omega}{\partial I} \Big|_{k_0, 0} I$$

↳ régime de faible intensité

$$\cdot \frac{\partial^2 \omega}{\partial I \partial k} \Big|_{k_0, 0} I (k - k_0) \ll \frac{\partial \omega}{\partial I} \Big|_{k_0, 0} I,$$

$$\frac{\partial \omega}{\partial k} \Big|_{k_0, 0} (k - k_0)$$

↳ régime de faible intensité et paquet d'onde peu étalé spatialem<sup>t</sup>

• On peut réécrire la PD sous la forme:

$$\omega = \omega_0 + (k - k_0) v_g + (k - k_0)^2 P - Q_1 I$$

• On peut alors obtenir la nouvelle eqn d'enveloppe:

$$i \frac{\partial A_e}{\partial \tau} = P \frac{\partial^2 A_e}{\partial \zeta^2} + Q_1 I A_e \quad \text{et} \quad I = |A_e|^2$$

$$i \frac{\partial A_e}{\partial \tau} = P \frac{\partial^2 A_e}{\partial \zeta^2} + Q_1 |A_e|^2 A_e \quad \text{où} \quad Q_2 > 0.$$

↳ eqn de Schrödinger NL

$$\begin{aligned} \text{De } \textcircled{+} \quad \frac{\partial \omega}{\partial k} &= \frac{c}{n_0(k)} - \frac{c}{n_0^2(k)} \frac{dn_0}{dk} \left[ k - \frac{\alpha I}{c} \right] \\ &= \frac{c}{n_0(k)} \left\{ 1 - \frac{k}{n_0(k)} \frac{dn_0}{dk} \right\} \\ &\quad + \frac{\alpha}{n_0^2} \frac{dn_0}{dk} I. \end{aligned}$$

donc  $\frac{\partial \omega}{\partial k} = v_g(k, 0) + \frac{\alpha}{n_0^2} \frac{dn_0}{dk} I$

soit  $P = \frac{1}{2} \frac{\partial v_g}{\partial k} \Big|_{k_0, 0} = -\frac{\pi}{k^2} \frac{dv_g}{dd}$

$$\begin{aligned} \text{or } \frac{d}{dd} \left( \frac{1}{v_g} \right) &= -\frac{1}{v_g^2} \frac{dv_g}{dd} \Rightarrow P = \frac{\pi v_g^2}{k^2} \frac{d}{dd} \left( \frac{1}{v_g} \right) \\ &= -\frac{\pi v_g^2}{k^2} \frac{d}{dd} \left( \frac{d^2 n'}{dd^2} \right) \\ &\quad \text{Rayleigh} \\ &= -\frac{d^2 v_g^2}{2c} \frac{d^2 n'}{dd^2}. \end{aligned}$$

Ainsi dans les régions de dispersion normale, on a le  $\textcircled{+}$  souvent  $\frac{d^2 n'}{dd^2} > 0$ , soit  $P > 0$ .

Pour contre il peut exister des cas où  $P < 0$ .  
De  $\textcircled{+}$  des zones de dispersion anormale, on peut avoir  $P > 0$  ou  $P < 0$ .

• Quel est l'effet du terme NL ?

$$i \frac{\partial A_e}{\partial \tau} = Q |A_e|^2 A_e$$

• On cherche  $A_e(\tau) = A_0 e^{i\theta(\tau)}$

$$\text{Alors } -A_0 \theta'(\tau) e^{i\theta(\tau)} = Q A_0^3 e^{i\theta(\tau)}$$

$$\Rightarrow \theta'(\tau) = -Q A_0^2$$

$$\Rightarrow A_e(\tau) = A_0 e^{-iQ A_0^2 \tau}$$

$$\text{DONC } A(x, t) = A_0 e^{-iQ A_0^2 t} e^{i(\omega(k_0)t - k_0 x)}$$
$$= A_0 e^{i[\omega_{NL}(k_0)t - k_0 x]}$$

$$\text{où } \omega_{NL}(k_0) = \omega(k_0) = Q A_0^2$$

$$\text{On a alors } v_{\varphi, NL} = \frac{\omega_{NL}(k_0)}{k_0} = v_{\varphi} = \frac{Q A_0^2}{k_0}$$

de sorte q  $v_{\varphi, NL} \propto$  qd  $A_0 \nearrow$ . Ainsi, la vitesse de  $\varphi \propto$  avec l'amplitude du paquet d'onde  $\nearrow$ .  
 $\Rightarrow$  c'est l'effet de raidissement du paquet d'onde.

↳ Cela explique q la dispersion, qui étale le paquet d'onde, peut être compensée par les NLs.

- On peut comprendre également la compétition à l'aide du 2<sup>ts</sup> suivant.

↳ celui de dispersion / étalement :

$$\tau_e = \frac{\Delta x_0^2}{2|P|}$$

↳ celui des NLS / de raideur :

$$\tau_r = \frac{1}{QI}$$

\* Si  $\tau_e < \tau_r$  on observe l'étalement du paquet d'onde.

\* Pour observer 1 soliton, i.e. pour qu'il y ait compensation, il faut q  $\tau_e \gtrsim \tau_r$  soit

$$I \sim \frac{2|P|}{Q \Delta x_0^2}$$

où  $\Delta x_0$  est la largeur du soliton.

⇒ il faut donc envoyer 1 puissance min. pour q l'effet des NLS rentre en ligne de compte et qui  $\nearrow$  qd  $\Delta x_0 \searrow$  car l'effet de la dispersion est d'autant  $\oplus$  fort q le paquet d'onde est spatialement étroit.

- On peut alors chercher 1 sol<sup>o</sup> solitaire que ne se déforme pas, i.e.  $A_e(x, t) \propto A_e(x - vt)$

$\propto A_e(\xi)$ .

Le facteur de prop. peut dépendre de  $\tau$  mais ne doit pas changer l'énergie, soit

$$A_e(\xi, \tau) = e^{i\theta(\tau)} A_e(\xi)$$

où  $\theta(\tau)$  est 1<sup>o</sup> réelle.

$$\hookrightarrow -\frac{d\theta}{d\tau} A_e(\xi) e^{i\theta(\tau)} = \left[ P \frac{d^2 A_e}{d\xi^2} + Q |A_e|^2 A_e \right] e^{i\theta(\tau)}$$

$$\begin{aligned} -\frac{d\theta}{d\tau} &= \frac{P}{A_e} \frac{d^2 A_e}{d\xi^2} + Q |A_e|^2 \\ &= \omega_s = \text{cte} \end{aligned}$$

DONC, on en déduit q  $A_e(\xi, \tau) = e^{-i\omega_s \tau} A_e(\xi)$   
on  $A(x, \tau) = e^{i(\omega_0 \tau - k_0 x)} e^{-i\omega_s \tau} A_e(\xi)$   
 $= e^{i(\omega_0 \tau - \omega_s \tau - k_0 x)} A_e(\xi)$

DONC  $\omega_s = \omega_0 - \omega$  et on a alors:

$$P \frac{d^2 A_e}{d\xi^2} + Q |A_e|^2 A_e = (\omega_0 - \omega) A_e$$

• On peut alors chercher la sol<sup>o</sup> sous la

forme:

$$A_e(x, \tau) = A_0 \operatorname{sech}(d\xi).$$
$$= \frac{A_0}{\cosh(d\xi)}$$

On trouve alors  $\frac{\partial A_c}{\partial \xi} = -\frac{A_0 d \sinh(d\xi)}{\cosh^2(d\xi)}$

et  $\frac{\partial^2 A_c}{\partial \xi^2} = -A_0 d^2 \left[ \frac{1}{\cosh(d\xi)} - \frac{2 \sinh^2(d\xi)}{\cosh^3(d\xi)} \right]$   
 $= A_0 d^2 \operatorname{sech}(d\xi) [2 \tanh^2(d\xi) - 1]$

Or  $\tanh^2(u) = 1 - \operatorname{sech}^2(u)$

Donc  $\frac{\partial^2 A_c}{\partial \xi^2} = A_0 d^2 \operatorname{sech}(d\xi) [1 - 2 \operatorname{sech}^2(d\xi)]$

En réinjectant, on obtient 1 sol° si

$$\begin{cases} P A_0 d^2 = (\omega_0 - \omega) A_0 \\ -2 P A_0 d^2 + Q |A_0|^2 A_0 = 0 \end{cases}$$

soit pour 1 sol° non trivialement nulle ( $A_0 \neq 0$ ):

$$d^2 = \frac{\omega_0 - \omega}{P} \text{ et } |A_0|^2 = \frac{2 P d^2}{Q} = \frac{2(\omega_0 - \omega)}{Q}$$

Cela ne sera possible q° si  $\omega < \omega_0$  et  $P > 0$ .

Ds ce cas, on trouve l'extension  $\Delta^{-1}$  du paquet d'onde, qui dépend d'l param. libre  $\omega_s$ .

Pour ailleurs, on a:  $\tau_e = \frac{1}{2P\Delta^2}$

$\Delta L$

et  $\tau_r = \frac{1}{Q|A_0|^2} = \frac{1}{2P\Delta^2} = \tau_e$

• On retiendra  $\bar{q}$  pour observer l soliton il faut  $\bar{q} > 0$ , i.e.  $\bar{q}$  les 2 effets s'opposent.

• RQ: En l'abs. de NL,  $Q=0$  et l'eqn d'enveloppe devient:

$$\frac{d^2 A_e}{d\bar{z}^2} = \frac{A_e}{d^2}$$

qui ne donnera jamais l sol° localisé de l'espace (soit oscillante, soit div à  $\pm \infty$ ).

### b) Soliton de la chaîne de pendules

• On reprend l'exple de la chaîne de pendules mais au-delà de l'hyp. des petits angles:

$$\frac{\partial^2 \theta}{\partial t^2} + \omega_0^2 \sin \theta - c^2 \frac{\partial^2 \theta}{\partial x^2} = 0$$

↳ eqn de sine-Gordon (par analogie avec KG)

• là encore, on peut observer l'impact des NLS et de la dispersion.

↳ effet des NLS:  $\frac{\partial^2 \theta}{\partial t^2} + \omega_0^2 \sin \theta = 0$

⇒ pendule grands angles: sa période est donnée par la formule de Borda

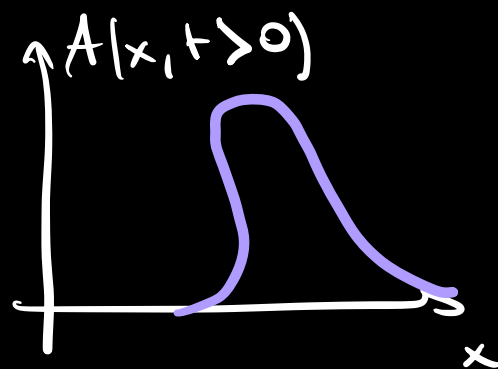
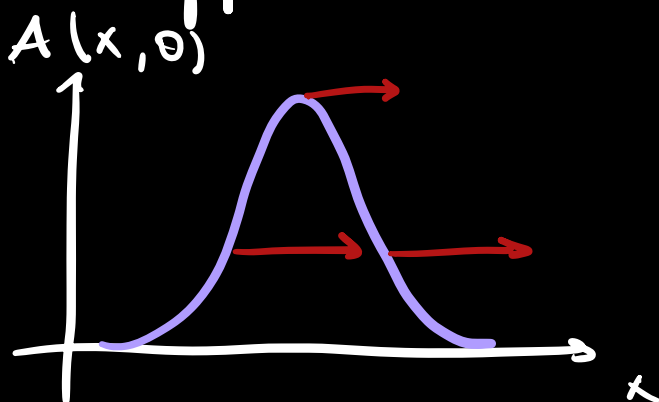
$$T = \frac{2\pi}{\omega_0} \left( 1 + \frac{\theta_0^2}{16} \right) \quad \text{où } \theta_0 : \text{amplitude angulaire max. du pendule.}$$

$$\omega_{NL} = \frac{2\pi}{T} = \frac{\omega_0}{1 + \frac{\theta_0^2}{16}} = \omega_0 \left( 1 - \frac{\theta_0^2}{16} \right)$$

⇒  $\omega_{NL} \searrow$  qd  $\theta_0 \nearrow$

⇒  $v_p = \frac{\omega_{NL}}{k} \searrow$  qd  $\theta_0 \nearrow$ : en retour

l'effet de raïdissenem par les NLS.



- On peut ici avoir de f. 1 hrs de redresse-  
m<sup>t</sup> typiq:

$$\tau_r = \frac{2\pi}{\frac{\omega_0 \theta_0^2}{16}} = \frac{16 T_0}{\sigma_0^2} \sim \frac{1}{\sigma_0^2}$$

qui varie comme l'inverse de l'éner-  
gie injectée.

- Pour avoir compensé des NLS par la dispersion, il faut  $\bar{q} \tau_r \lesssim \tau_e$ , ce qui impose l'énergie minimale pour voir le soliton.

- Par la suite, on pose  $\begin{cases} \bar{z} = x - vt \\ \tau = t \end{cases}$ :

$$\Rightarrow \begin{cases} \frac{\partial}{\partial t} = \frac{\partial}{\partial \tau} - v \frac{\partial}{\partial \bar{z}} \\ \frac{\partial}{\partial x} = \frac{\partial}{\partial \bar{z}} \end{cases}$$

$$\Rightarrow \begin{cases} \frac{\partial^2}{\partial t^2} = \frac{\partial^2}{\partial \tau^2} - 2v \frac{\partial^2}{\partial \bar{z} \partial \tau} + v^2 \frac{\partial^2}{\partial \bar{z}^2} \\ \frac{\partial^2}{\partial x^2} = \frac{\partial^2}{\partial \bar{z}^2} \end{cases}$$

$$\Rightarrow \frac{\partial^2 \theta}{\partial \tau^2} - 2v \frac{\partial^2 \theta}{\partial \bar{z} \partial \tau} + (v^2 - c^2) \frac{\partial^2 \theta}{\partial \bar{z}^2} + \omega_0^2 \sin \theta = 0.$$

On cherche 1 sol<sup>o</sup>  $\theta(\bar{z}, \tau) = \theta(\bar{z})$  ne dépendant q de  $\bar{z}$ , traduisant la mesure d'un endre relative à la célérité

$$\hookrightarrow (v^2 - c^2) \frac{d^2 \theta}{d\bar{z}^2} + \omega_0^2 \sin \theta = 0$$

$$\frac{d^2 \theta}{d\bar{z}^2} + \frac{\omega_0^2}{v^2 - c^2} \sin \theta = 0.$$

→ on trouve l'eqn d'un pendule grands angles.

$$\frac{1}{2} \left( \frac{d\theta}{d\bar{z}} \right)^2 - \frac{\omega_0^2}{v^2 - c^2} \cos \theta = A$$

$$\cdot \text{Qd } \bar{z} \rightarrow \pm \infty, \text{ on veut } \bar{q} \left. \begin{array}{l} \theta = 0 \\ \frac{d\theta}{d\bar{z}} = 0 \end{array} \right\}$$

$$\hookrightarrow \frac{1}{2} \left( \frac{d\theta}{d\bar{z}} \right)^2 = \frac{\omega_0^2}{v^2 - c^2} (\cos \theta - 1)$$

$$\Rightarrow \text{on a alors } v^2 - c^2 < 0 \Rightarrow |v| < c$$

et de ce cas, on peut chercher 1 sol<sup>o</sup> monotone:

$$\frac{d\theta}{d\zeta} = \pm \sqrt{\frac{2\omega_0^2}{c^2 - v^2} (1 - \cos\theta)}$$

$$= \pm \frac{2\omega_0}{\sqrt{c^2 - v^2}} \sin\left(\frac{\theta}{2}\right)$$

$$\frac{d\theta}{\sin(\theta/2)} = \pm \frac{2\omega_0}{c\sqrt{1 - \frac{v^2}{c^2}}} d\zeta$$

$$\frac{d\theta}{\sin(\theta/2)} = \pm \frac{2\gamma\omega_0}{c} d\zeta \quad \text{où } \gamma = \frac{1}{\sqrt{1 - \frac{v^2}{c^2}}}$$

On intègre et on obtient:

$$2 \ln \tan\left(\frac{\theta}{4}\right) = \pm 2\gamma\omega_0 \zeta + \text{cte.}$$

$$\tan\left(\frac{\theta}{4}\right) = A e^{\pm \frac{\gamma\omega_0}{c} \zeta} = e^{\pm \frac{\gamma\omega_0}{c} (\zeta - \zeta_0)}$$

$$\Rightarrow \theta(x, t) = 4 \arctan \left[ e^{\pm \frac{\gamma\omega_0}{c} (x - x_0 - vt)} \right]$$

+ : kink

- : antikink

Pour 1 kink:

$$\left. \begin{array}{l} \theta(x \rightarrow -\infty, t) = 0 \\ \theta(x \rightarrow +\infty, t) = 4\pi - 2\pi \end{array} \right\}$$

$$\theta(x \rightarrow +\infty, t) = 4\pi - 2\pi = 2\pi$$

=> cela correspond donc à l'ensemble complet des pendules.

### c) Vague solitaire en eau peu profonde

- Fluide en écoulement parfait, incompressible, irrotationnel, en eau peu profonde et en négligeant les effets capillaires : eqn de Korteweg de Vries.

### 2) Dispersion par les Cs

- Nous verrons cela ds le chap. sui vient sur le guidage des ondes.